

Tafeln

Autor(en): **[s.n.]**

Objektyp: **Appendix**

Zeitschrift: **Eclogae Geologicae Helvetiae**

Band (Jahr): **32 (1939)**

Heft 1

PDF erstellt am: **08.08.2024**

Nutzungsbedingungen

Die ETH-Bibliothek ist Anbieterin der digitalisierten Zeitschriften. Sie besitzt keine Urheberrechte an den Inhalten der Zeitschriften. Die Rechte liegen in der Regel bei den Herausgebern.

Die auf der Plattform e-periodica veröffentlichten Dokumente stehen für nicht-kommerzielle Zwecke in Lehre und Forschung sowie für die private Nutzung frei zur Verfügung. Einzelne Dateien oder Ausdrucke aus diesem Angebot können zusammen mit diesen Nutzungsbedingungen und den korrekten Herkunftsbezeichnungen weitergegeben werden.

Das Veröffentlichen von Bildern in Print- und Online-Publikationen ist nur mit vorheriger Genehmigung der Rechteinhaber erlaubt. Die systematische Speicherung von Teilen des elektronischen Angebots auf anderen Servern bedarf ebenfalls des schriftlichen Einverständnisses der Rechteinhaber.

Haftungsausschluss

Alle Angaben erfolgen ohne Gewähr für Vollständigkeit oder Richtigkeit. Es wird keine Haftung übernommen für Schäden durch die Verwendung von Informationen aus diesem Online-Angebot oder durch das Fehlen von Informationen. Dies gilt auch für Inhalte Dritter, die über dieses Angebot zugänglich sind.

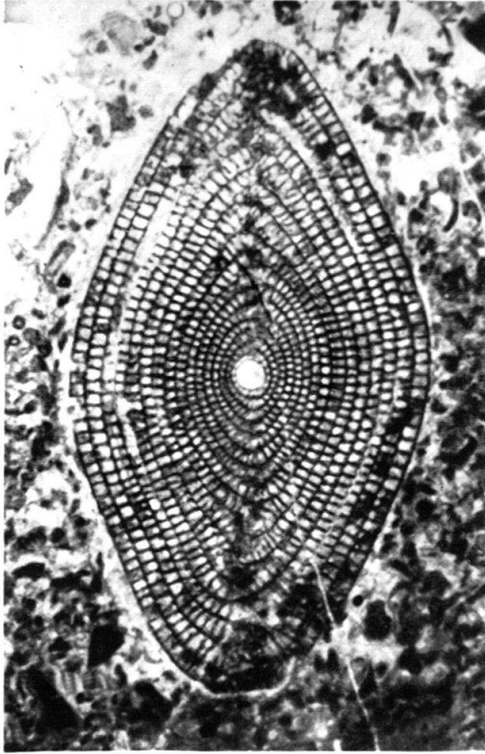


Fig. 1.



Fig. 2.

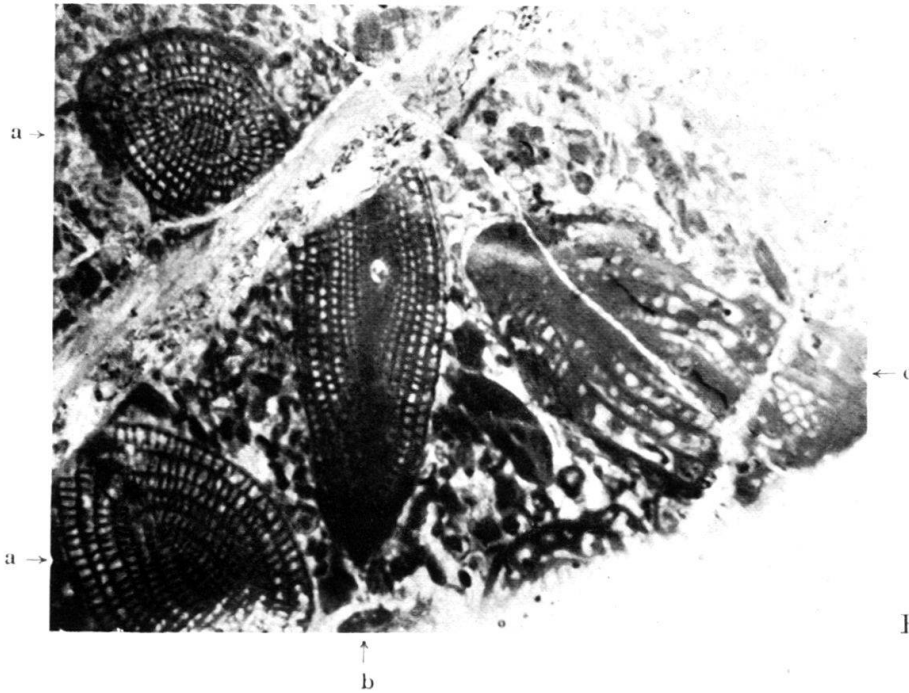


Fig. 3.

Fusulinidae from North-western Siam.

Fig. 1. *Neoschwagerina craticulifera* (SCHWAGER).
Axial section. $\times 10$.

Fig. 2. *Verbeekina verbeeki* (GEINITZ).
Axial section. $\times 10$.

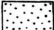


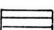

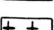
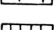
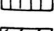
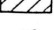
Fig. 3. a *Neoschwagerina craticulifera* (SCHWAGER).
b *Sumatrina annae* (VOLTZ).
c *Pseudofusulina douvillei* (COLANI).
 $\times 10$.

La Nappe du Laubhorn et le Flysch entre le Col de Coux et Morgins

par ARNOLD LILLIE.

1:50.000.

Légende

-  Nappe de la Brèche (B)
-  Nappe des Préalpes médianes
-  Nappe du Niesen (N)
-  Masse supérieure du Flysch préalpin
-  Jurassique de la Nappe du Laubhorn
-  Trias de la Nappe du Laubhorn (T)
-  Masse inférieure du Flysch préalpin et Nappe de la Tour d'Anzeinde
-  Nappe de Morcles et Autochtone
-  Localités fossilifères
-  Lames de roches mésozoïques (c. s. = Crétacé supérieure)

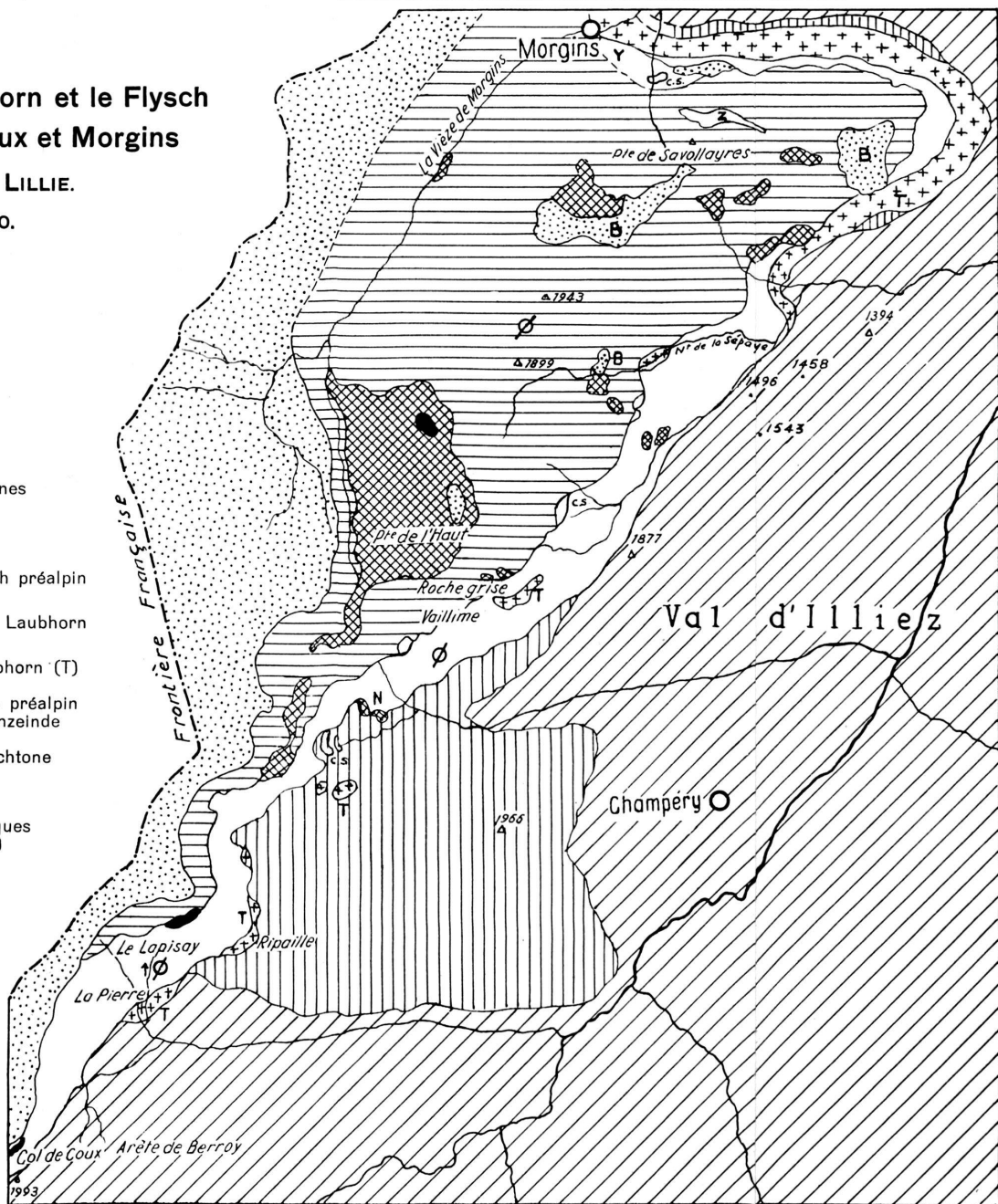
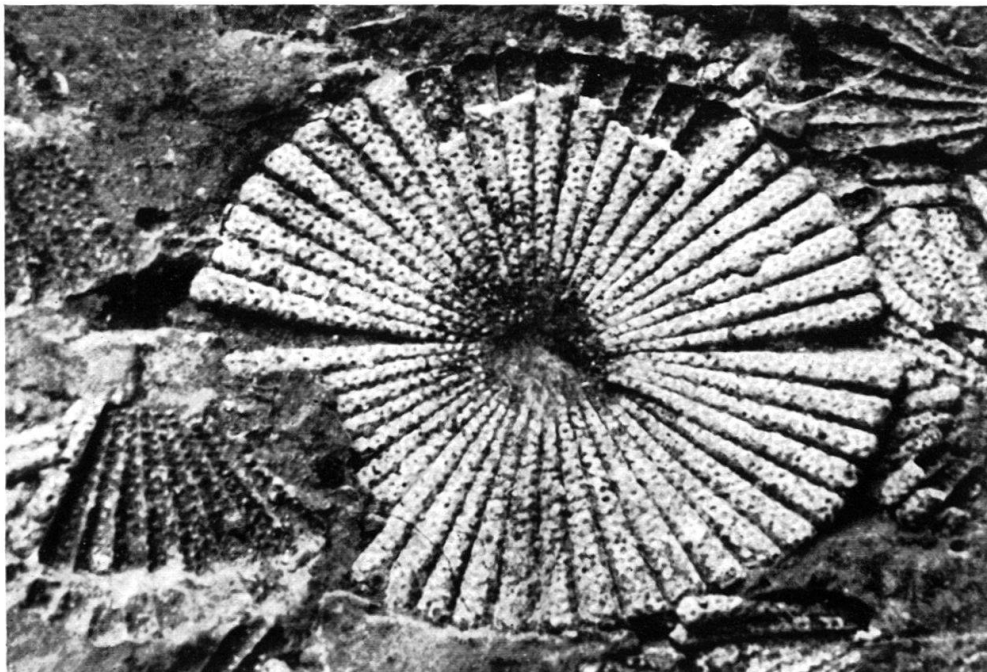




Fig. 2

Phot. E. HUBER, Bâle.

Fig. 1.



Phot. A. CINTRACT, Paris.

Fig. 2.

Repr. BIRKHÜSER, Bâle.

Acicularia persica n. sp.

Fig. 1. Echantillon montrant l'abondance des individus. $\times 2$.

Fig. 2. Ombelle presque intacte (holotype). $\times 10$.

Musée d'Histoire naturelle, Bâle (Nr. S 1).

Figur 1 & 2
Tektonische Übersichtskarte der östlichen penninischen Alpen

1:400.000

Figur 1
Interpretation E. Argand 1911

Figur 2
Interpretation P. Bearth 1939



Figur 3-5
Tektonisches Profil durch die Weissries-Gruppe

1:400.000

Legende zu Figur 1-5

Figur 3. Interpretation E. Argand 1911



Figur 4. Interpretation nach T. K. Huang 1935



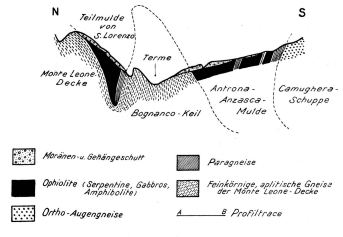
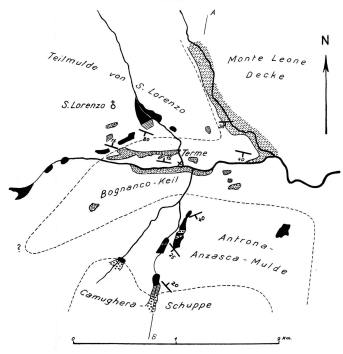
Figur 5. Interpretation P. Bearth 1939



- | | | | |
|--|---|--|--------------------|
| | Insubrische Zone | | Dent Blanche-Decke |
| | Monte Rosa Decke Machabell-Bernhard-Decke Decke | | Monte Leone-Decke |
| | Labandun-Decke | | Antrona-Decke |
| | Penninisches Mesozoikum | | Talböden |
-
- | | | | |
|--|--------------------|--|--------------------|
| | A = Antrona | | L = Lavalhorn |
| | B = Bagnasco | | La = Latalhorn |
| | Ba = Basso | | ML = Monte Leone |
| | Br = Brattolun | | P = Fortinget |
| | Br = Brig | | R = Ringelhorn |
| | C = Cima Carughera | | S = Sasse Grand |
| | D = Dora | | SP = Sempione Pass |
| | Di = Dintosaite | | St = Stallen |
| | F = Flasson | | V = Vep |
| | G = Gando | | W = Weissries |
| | Ge = Götalen | | |
-
- | | |
|--|-------------------------------|
| | TM = Trifttal-Mulde |
| | SL = Sasse Grand-Lappen |
| | SM = Sempione-Mulde |
| | ZK = Zerschlagen-Mulde |
| | RL = Ringelhorn-Lappen |
| | ZM = Zerschlagen-Mulde |
| | PL = Portinget-Lappen |
| | FM = Furgg-Mulde |
| | LL = Latalhorn-Lappen |
| | LM = Lavalhorn-Mulde |
| | LT = Latalhorn-Lappen |
| | AM = Antrona-Antrona-Mulde |
| | LT = Teilmulde von S. Lorenzo |
| | CS = Camughera-Schuppe |
| | SM = Salsasco-Mulde |
| | X = Bagnasco-Keil |

Figur 6
Geologische Kartenskizze und Profil der Gegend von Bognanco Terme

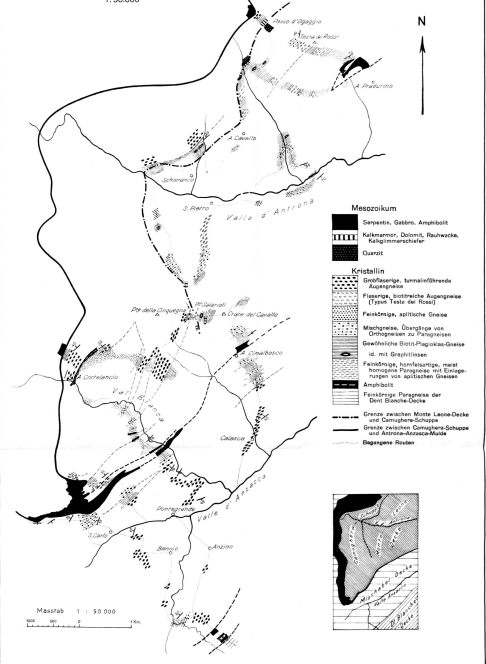
1:25.000



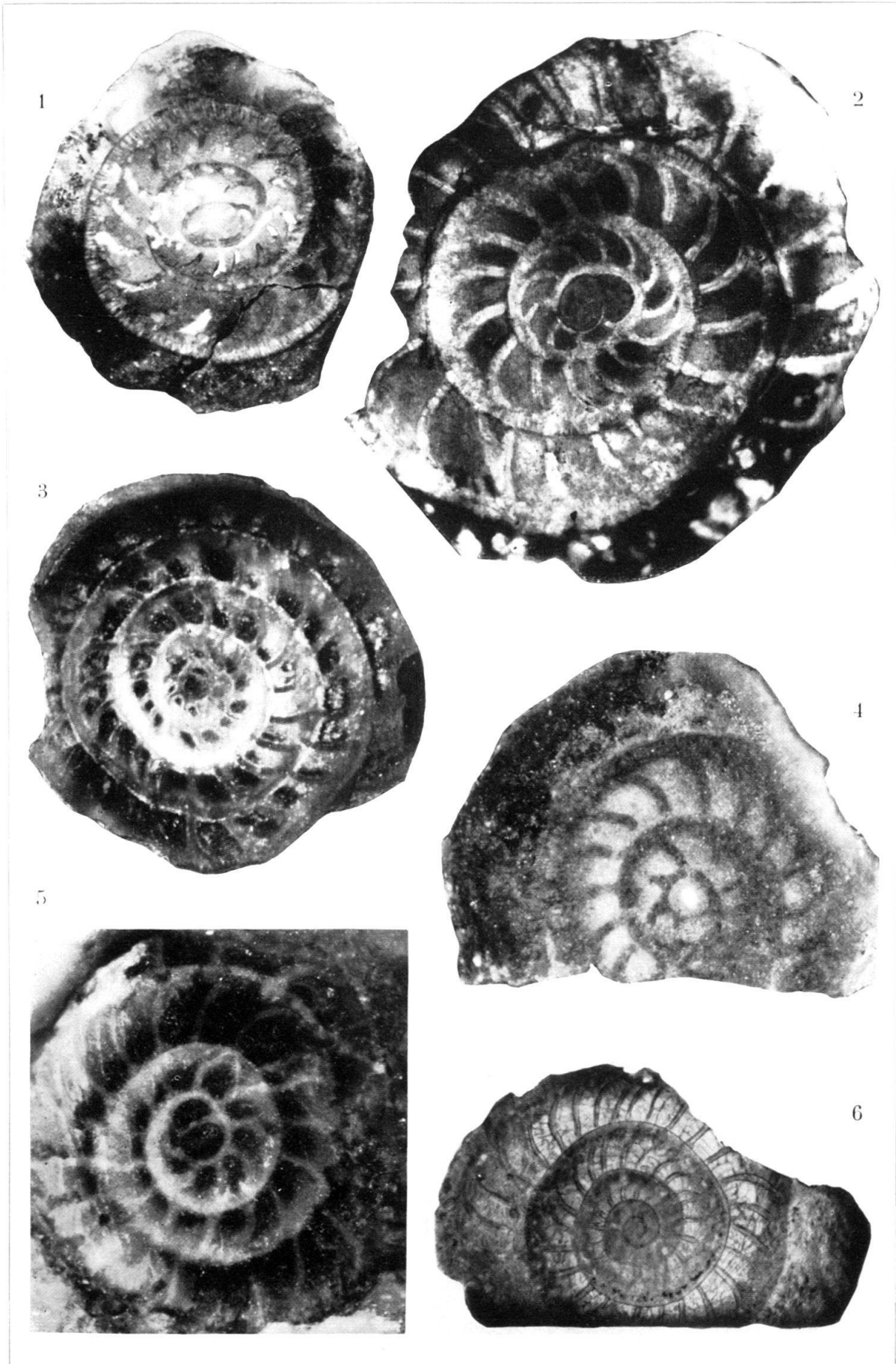
- | | | | |
|--|---|--|--|
| | Müränen- u. Gehängeschutt | | Paragneise |
| | Ophiolite (Serpentine, Gabbro, Amphibolite) | | Feinkörnige, aplitische Gneise der Monte Leone-Decke |
| | Ortho-Augengneise | | Profiltrace |

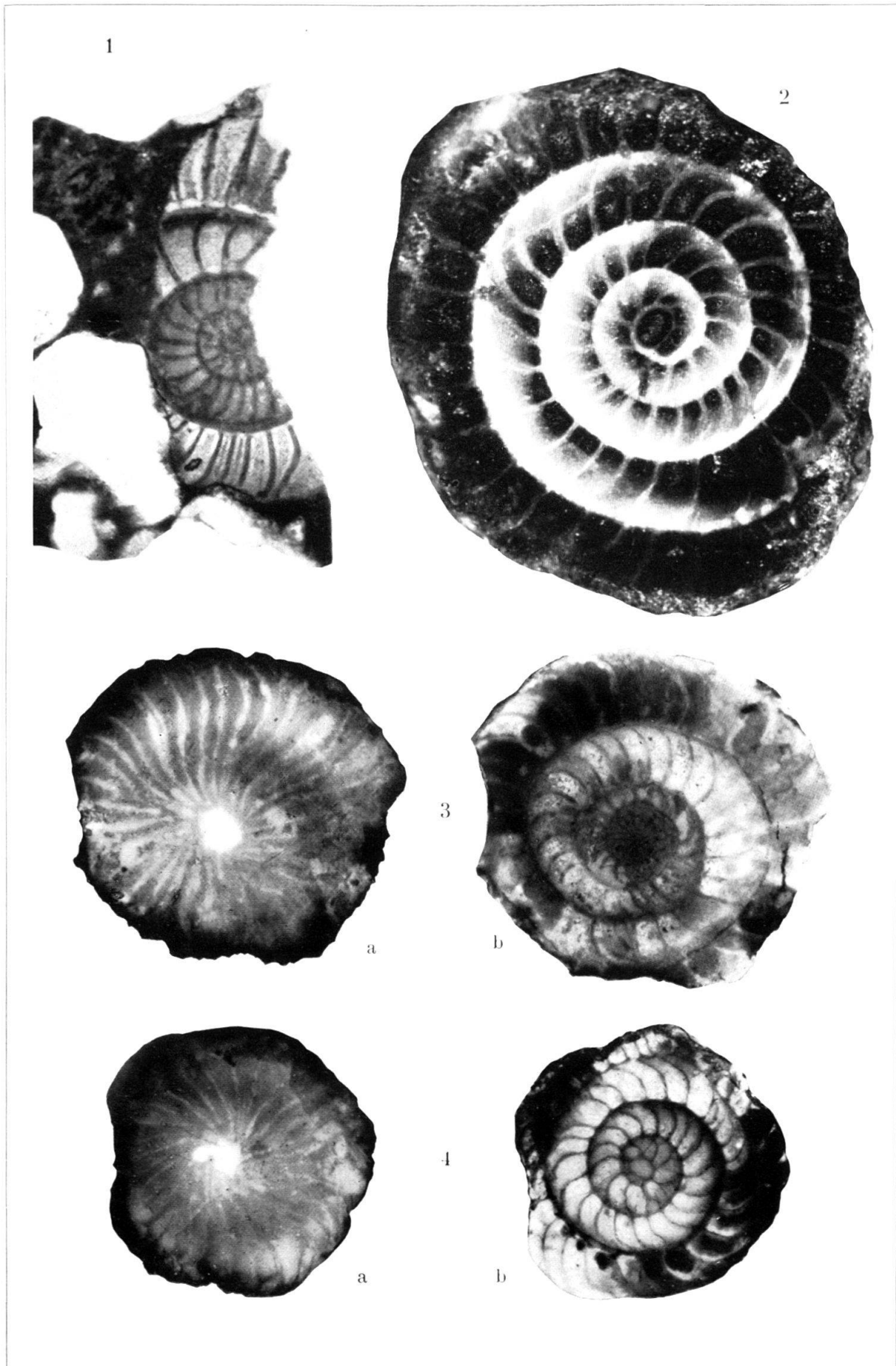
Figur 7
Geologische Kartenskizze des Gebietes zwischen Val d'Antrona und Valle Anzasca

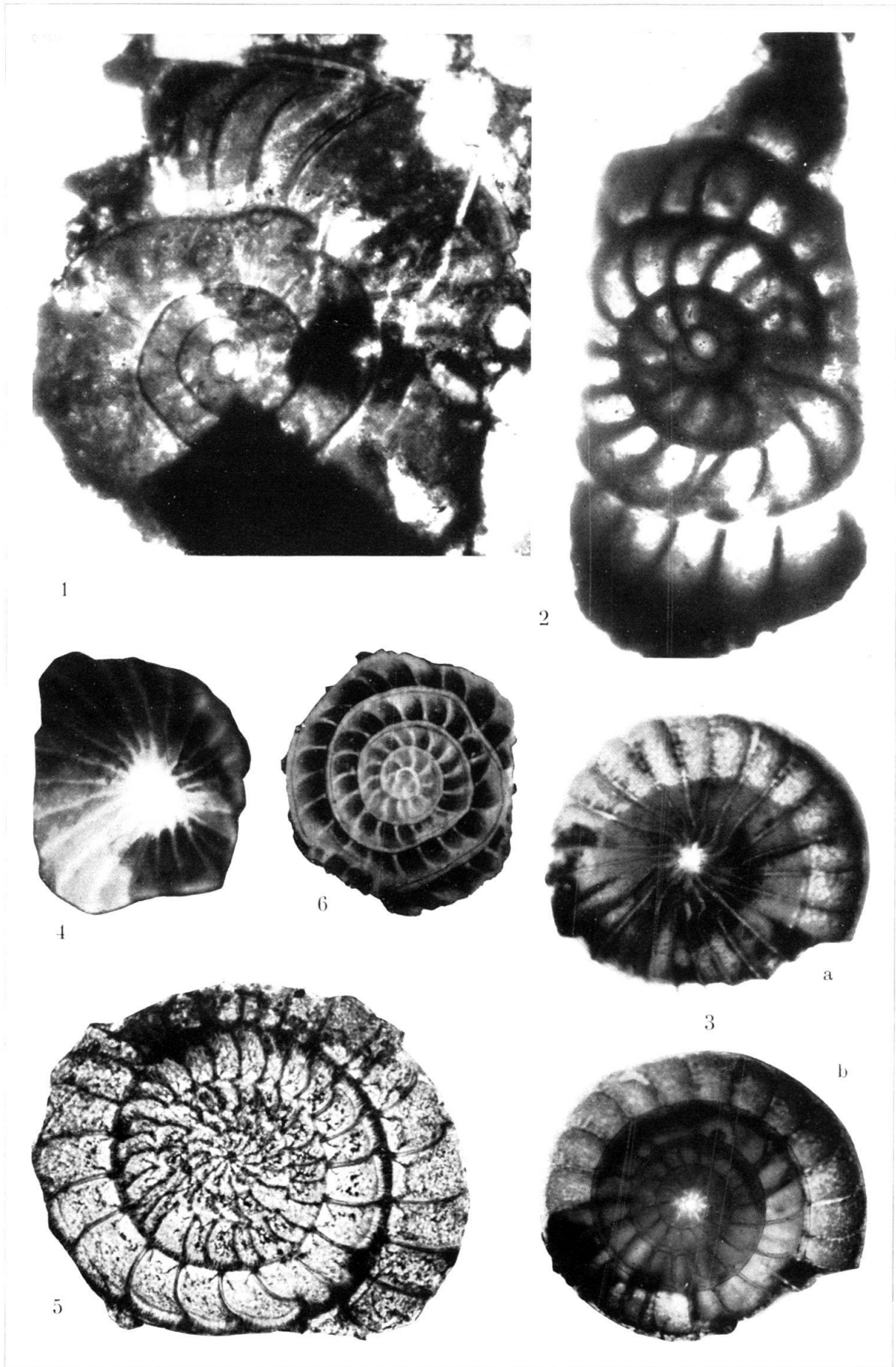
1:50.000

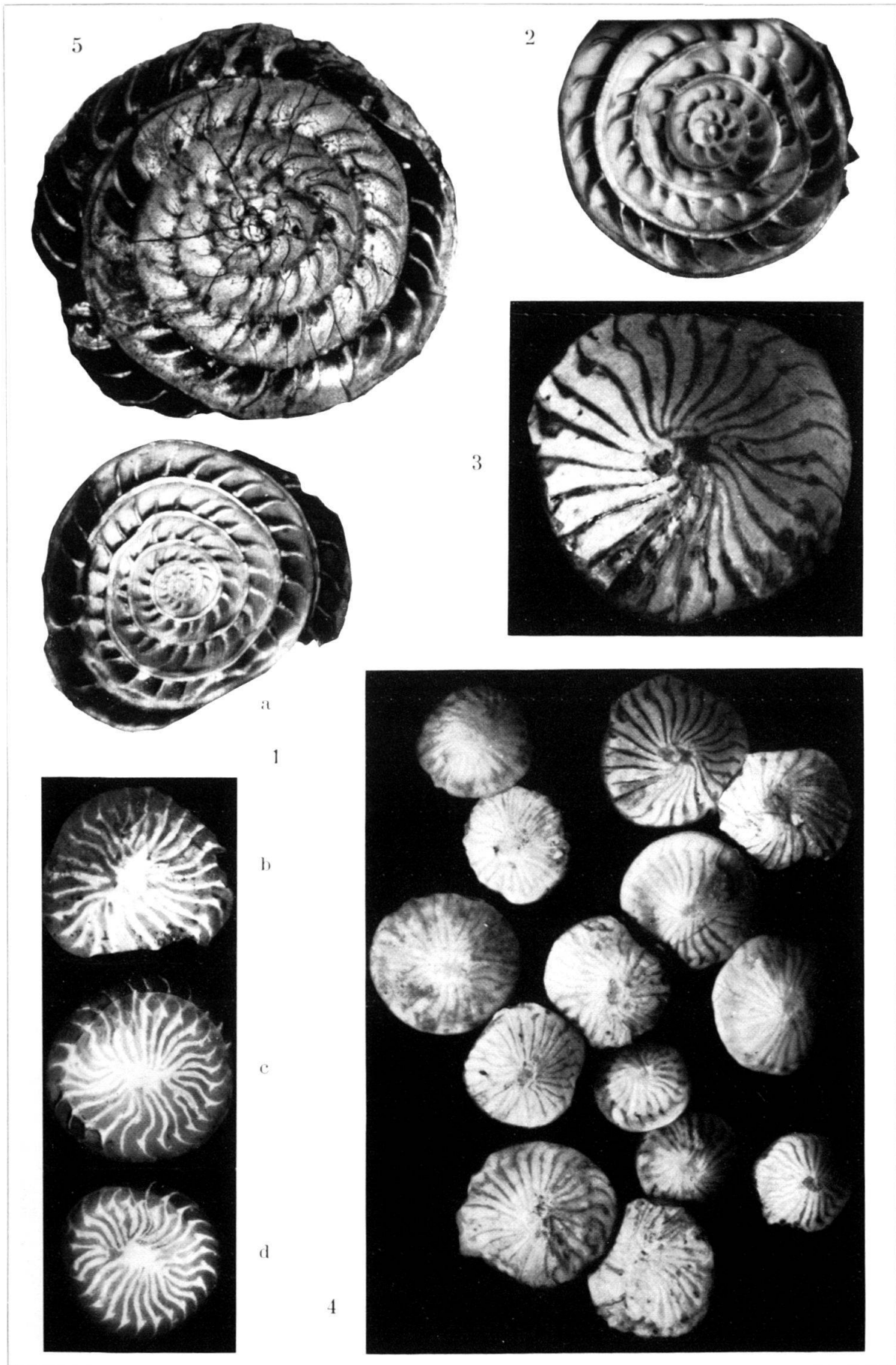


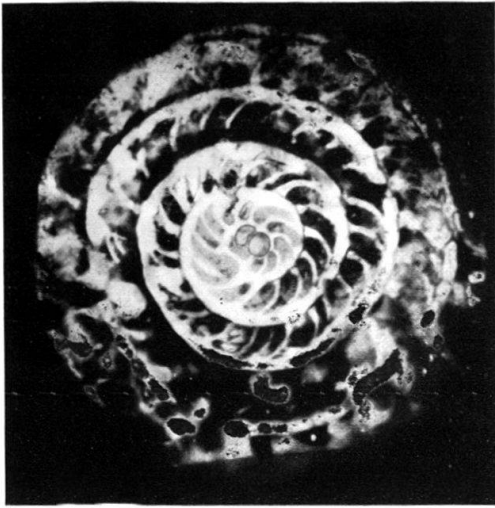
- | | |
|--|--|
| | Mesozoikum |
| | Serpentin, Gabbro, Amphibolit |
| | Kalkmergel, Dolomit, Balmuccia, Konglomeratschale |
| | Quarzit |
| | Kristallin |
| | Gneise, Schiefer, metamorphose Antrona-Mulde |
| | Feinkörnige, aplitische Gneise |
| | Metakonglomerat, Schieferung von Schieferungen zu Schieferungen (Eisen-Tal bei Basso) |
| | Gneise, Schieferung, meist homogene Porphyre mit Einlagerungen von aplitischen Gneisen |
| | Amphibolit |
| | Feinkörnige Porphyre der Dent Blanche-Decke |
| | Grenze zwischen Monte Leone-Decke und Camughera-Schuppe |
| | Grenze zwischen Camughera-Schuppe und Antrona-Antrona-Mulde |
| | Begleitende Routen |



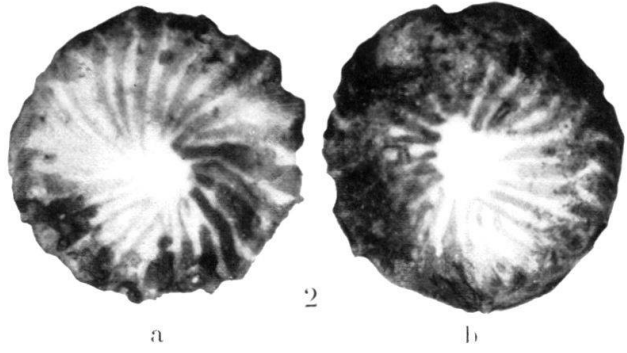








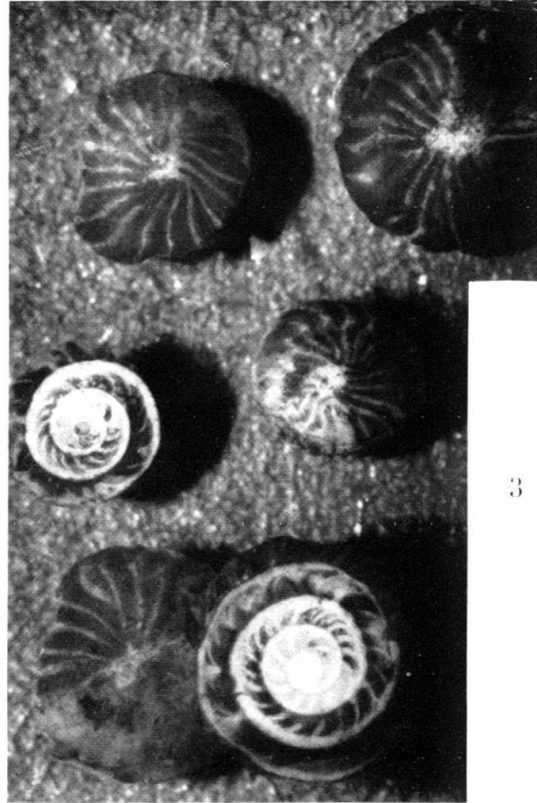
1



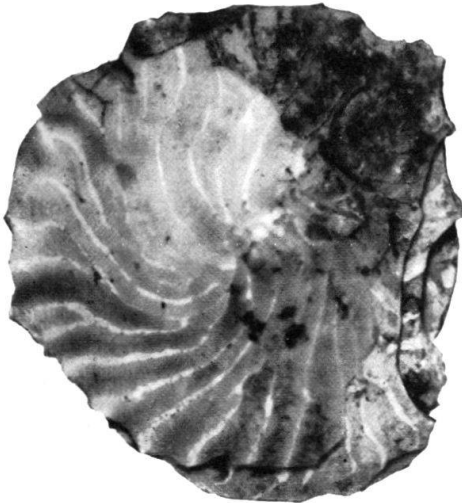
a

2

b



3

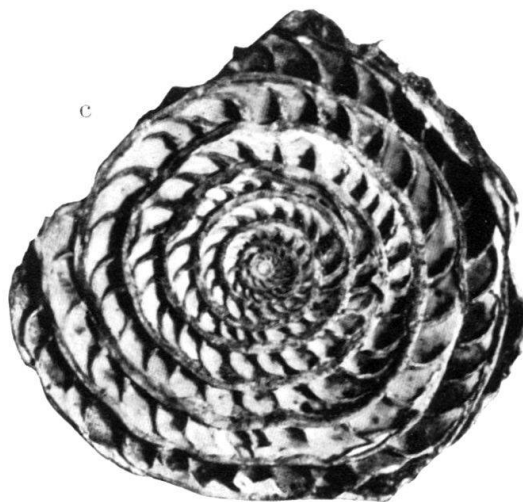


a

4



b



c